

河南嵩县槐树坪金矿流体包裹体特征及其地质意义

李俊生¹, 许栋^{2,3}, 梁贞¹, 杨春蕾²

(1. 河南省地质矿产勘查开发局第二地质矿产调查院,河南 郑州 450002; 2. 河南理工大学资源环境学院,河南 焦作 454003; 3. 河南省地质矿产勘查开发局第三地质矿产调查院,河南 信阳 464000)

摘要:槐树坪金矿是赋存于熊耳群缓倾斜层间挤压破碎带内的石英脉+蚀变岩型金矿床。热液成矿过程可划分为 3 个阶段: I. 乳白色石英脉-团块状黄铁矿阶段; II. 烟灰色石英脉-多金属硫化物阶段; III. 石英-碳酸盐脉阶段。对流体包裹体进行显微测温和拉曼光谱分析,研究表明, I、II 成矿阶段石英中流体包裹体主要发育 $\text{CO}_2 - \text{H}_2\text{O}$ 型、纯 CO_2 型和 $\text{NaCl} - \text{H}_2\text{O}$ 溶液型包裹体, III 成矿阶段石英中主要发育 $\text{NaCl} - \text{H}_2\text{O}$ 溶液型包裹体, 成矿 I 阶段到 III 阶段包裹体均一温度变化为 $189 \sim 439^\circ\text{C} \rightarrow 145 \sim 351^\circ\text{C} \rightarrow 145 \sim 267^\circ\text{C}$, 盐度变化为 $6.98\% \sim 10.29\% \rightarrow 2.03\% \sim 11.71\% \rightarrow 2.89\% \sim 15.04\%$, 成矿早阶段流体由中温、中低盐度 $\text{H}_2\text{O} - \text{NaCl} - \text{CO}_2$ 体系向晚阶段低温、低盐度 $\text{NaCl} - \text{H}_2\text{O}$ 体系演化。判定成矿流体来源于岩浆热液,具有深源特征。成矿流体中金主要以 $\text{Au}(\text{HS})$ 形式迁移,其次为 $\text{Au}_2(\text{HS})_2\text{S}^{2-}$ 。

关键词:流体包裹体;槐树坪金矿;嵩县;河南

中图分类号:P618.51

文献标志码:A

文章编号:1009-6248(2017)04-0115-13

The Fluid Inclusion Characteristics and Significance of the Huaishuping Gold Deposit in Song County, Henan province

LI Junsheng¹, XU Dong^{2,3}, LANG Zhen¹, YANG Chunlei²

(1. No. 2 Institute of Geological & Mineral Resources Survey of Henan, Zhengzhou 450002, Henan, China;
2. Institute of Resources and Environment, Henan Polytechnic University, Jiaozuo 454000, Henan, China;
3. No. 3 Institute of Geological & Mineral Resources Survey of Henan Geological Bureau, Xinyang 464000, Henan, China)

Abstract: The Huaishuping gold deposit is a quartz vein gold deposit, which was occurred in slowly inclined interlayer extrusion zone of Xiong'er Group. Hydrothermal ore-forming process of this deposit can be divided into three stages: stage I – milky quartz vein-phase crumb pyrite quartz vein, stage II – smoke gray-polymetallic sulfide phase, and stage III – quartz-carbonate phase. Through the studies of fluid inclusion microscopic temperature measurement and Laser-Raman spectra analysis, the results show that: three types of fluid inclusions in stage I and II are identified as $\text{CO}_2 - \text{H}_2\text{O}$ type, pure CO_2 and $\text{NaCl} - \text{H}_2\text{O}$ solution type, while stage III quartz

收稿日期:2016-10-05;修回日期:2017-07-26

基金项目:中国地质调查局科研基金“河南省熊耳山-外方山金多金属矿整装勘查区专项填图与技术应用示范”(12120114035401),河南省“两权”价款项目科研基金“河南省嵩县东湾-槐树坪金矿床地球化学特征及找矿预测研究”(2014-17)资助

作者简介:李俊生(1971-),男,河南内黄人,高级工程师,主要从事矿产勘查及矿床学研究工作。E-mail: lijunshen1001@163.com

inclusions mainly contain the NaCl-H₂O solution type. From the metallogenetic stage I to stage III, the homogenization temperatures of fluid inclusions are 189~439°C→145~351°C→145~267°C, while their salinities are 6.98%~10.29%→2.03%~11.71%→2.89%~15.04%. The ore-forming fluid was evolved from H₂O-NaCl-CO₂ system, which is characterized by changing from medium temperature and medium-low salinity to low temperature and salinity NaCl-H₂O system. It's determined that the ore-forming fluid was derived from magmatic hydrothermal, which has the characteristics of deep source. And then, it's suggested that the ore-forming fluid was mainly migrated in the form of Au(HS), secondly by Au₂(HS)₂S²⁻.

Keywords: fluid inclusion; Huashuping gold deposit; Song County; Henan Province

豫西嵩县槐树坪金矿是近年来在熊耳山矿集区发现的赋存于次级拆离断层形成的缓倾斜层间挤压破碎带内的首个规模达到大型的石英脉+蚀变岩型金矿床(谢小峰等,2013;梅秀杰等,2014)。对该矿床的研究成果较少,主要集中在地质特征(徐红伟等,2009)、构造特征(梅秀杰等,2008,2014,)、矿石矿物特征(谢小峰等,2013;杨彧等,2014)及地球化学特征(张参辉等,2013)等方面,缺乏成矿流体的研究及资料,进而影响对矿床成因、成矿物质来源及成矿流体来源的研究。鉴于此,笔者采用流体包裹体岩相学、显微热力学及激光拉曼显微探针等方法,对槐树坪金矿床不同成矿阶段石英中的流体包裹体进行测试分析,报道流体包裹体研究成果,探讨成矿流体性质、演化特征,为该区该类型矿床的深入研究提供有效信息。

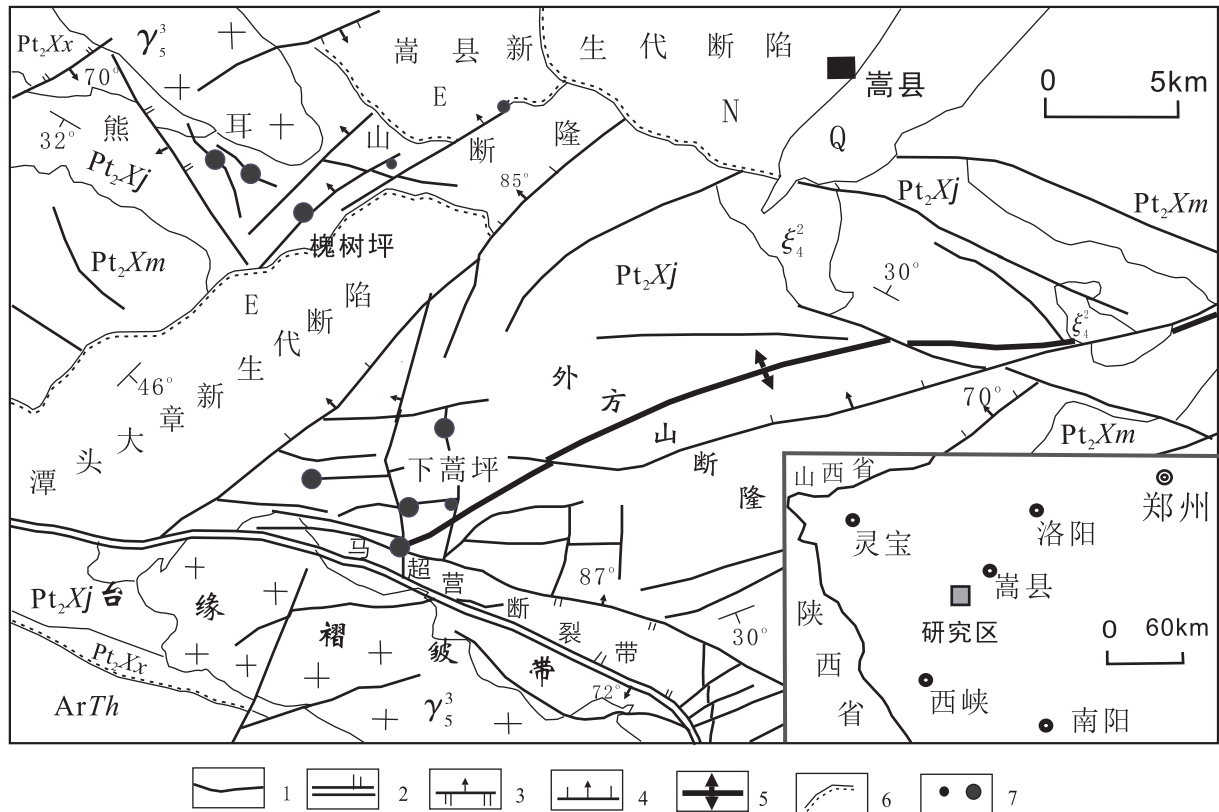
1 成矿地质背景

槐树坪金矿位于豫西嵩县大章镇,大地构造位于华北地块南缘、秦岭褶皱系北缘、熊耳山断隆与外方山断隆的结合地带,受到华北板块、北秦岭褶皱带、南秦岭褶皱带以及扬子板块四大构造单元长期且复杂的构造作用及影响(张参辉等,2013;庞绪成等,2011;杨贺杰等,2009;郭爱锁等,2014;杨东潮等,2012)。华北板块与扬子板块发生碰撞,形成著名的秦岭造山带(陈衍景等,2002,2004)。230~220 Ma 秦岭地区大规模碰撞形成一系列大规模陆内俯冲(或 A 型俯冲)带,由南向北产生一系列逆冲推覆构造,并形成一系列断层。伴随秦岭造山运动,区域上形成众多中酸性岩浆岩,同时大规模成矿流体沿断裂构造运移,并在有利部位沉淀富集成矿,从而形成区域上银、金、铅、锌、钼等多金属矿带(吴发

富等,2012;王福贵等,1991;郭保健等,2005;邱庆伦等,2008)。

太古宙时期广泛的基性-中基性-酸性火山岩的喷发和超基性岩的侵入,经历后期强烈的区域变质和混合岩化作用,形成太华群变质岩系,构成熊耳山地区和华北克拉通南缘最古老基底岩系(徐红伟等,2009)。中元古代熊耳群火山岩大面积裂隙式喷溢,形成巨厚状熊耳群安山岩系,构成广布于太华群结晶基底之上的第一盖层,是区域上仅次于太华群的主要含矿岩系。晚期一些中基性-酸性岩脉的侵入,形成区内广泛分布于太华群中的辉绿岩、闪长岩、石英闪长岩脉(WANG Changming et al, 2013)。

区域构造运动强烈,以断裂构造为主,褶皱不发育,沿太华群结晶基底与熊耳群盖层的不整合面发育拆离断层与变质核杂岩,区域主要发育有中—新生代滑脱拆离断层的次级缓倾斜断层(梅秀杰等,2008,2014)。区域上断裂构造格局错综复杂,按方向大致可以分为近东西向、北东—北北东向、南北向 3 组(图 1)(李连涛等,2009;刘红樱等,1998;丁士应等,1999)。近东西向马超营断裂为全区的主干断裂,形成时间早,形成初期为熊耳群火山喷发提供通道(刘红樱等,1998)。北东—北北东向断裂为发育于马超营断裂北盘(上盘)的一系列区域性剪切断裂带,自西向东有康山—上官断裂、焦园断裂、东湾 F₄ 断裂、槐树坪-瑶沟断裂束和杨寺断裂。该组断裂主要形成及活动时期为白垩纪—新生代,具正断层性质,表现为强烈的拉张特征,大致呈等距性分布(15~18 km)。该组构造控制了该区几个新生代断陷盆地的形成,是区内最发育并且是控矿导矿的主要构造带(孙华山等,2011)。南北向断裂区域不是很发育,以 F₂₂ 万岭断裂组为代表。



Q. 第四系; N. 新近系; E. 古近系; Pt₂X. 中元古界熊耳群; Pt₂Xm. 马家沟组; Pt₂Xj. 鸡蛋坪组; Pt₂Xx. 许山组; ArTh. 太古界太华群; γ³. 燕山晚期花岗岩; ξ². 华力西期正长岩; 1. 断层; 2. 区域性大断层; 3. 逆断层; 4. 正断层; 5. 背斜; 6. 不整合界线; 7. 金矿床(点)

图1 研究区地质简图

Fig. 1 Geological sketch map of the deposit area

中生代燕山期岩浆岩分布面积广、岩体规模大,中酸性岩浆侵位于太华群变质岩和熊耳群火山岩中,形成深成相重熔型花岗岩岩基(聂政融等,2015),区域出露有合峪复式岩体、五丈山二长花岗岩体及花山似斑状复式花岗岩体(吴发富等,2012;胡海珠等,2006)。

2 矿床地质特征

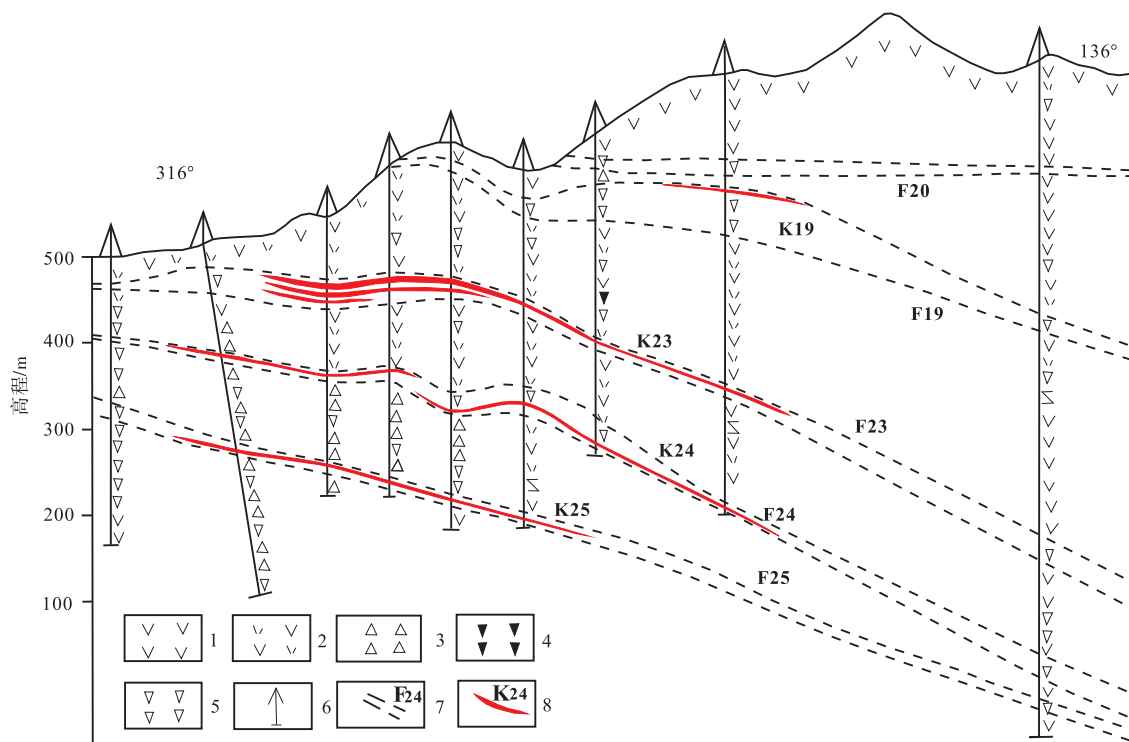
矿区出露地层主要有中元古界长城系熊耳群鸡蛋坪组(ChXj)、古近系高峪沟组(E₁g)及第四系(Q)。矿床的主要赋矿层位有熊耳群中酸性火山岩系及火山碎屑沉积岩。

矿区构造以北东向压扭性断裂为主,其次为北北东向、北北西向、近东—西向。北东向断裂成群分布,近于平行,形成沿熊耳群内部分布的缓倾斜构造组。缓倾斜断裂构造组属印支造山晚期伸展滑脱断裂构造系统,是区域上中生代缓倾斜滑脱拆离断层

的次级构造,其特点为数条甚至十数条成组出现,断裂组内的单条断裂近于平行,相邻断裂之间的间距在3~200 m,产状与安山岩地层基本一致,倾向135°,倾角10°~30°。缓倾斜断裂在矿区地表出露主要有F₁₃、F₁₆、F₁₇、F₁₈、F₁₉、F₂₁等,隐伏缓倾斜构造主要有F₂₀、F₂₃、F₂₄、F₂₅、F₂₆等。其中赋存于F₂₃、F₂₄构造内的K₂₃、K₂₄矿体是该区主要矿体。K₂₃、K₂₄矿体均为盲矿体,矿体严格受破碎带控制。K₂₃由3条近于平行的矿体组成,K₂₄矿体尖灭再现、尖灭侧现普遍。矿体整体呈层状、舒缓波状(图2)。

矿区内地质构造与矿化有关岩浆岩主要为燕山期中酸性侵入岩、五丈山二长花岗岩体,其出露矿区北部,槐树坪矿区主要金矿体沿五丈山岩体边界展布。

槐树坪金矿区矿体类型为赋存于隐伏缓倾斜层间挤压破碎带内的石英脉+蚀变岩型矿体。矿石按自然类型分为氧化矿和原生矿2种,按矿物成分及结构构造可分为浸染状黄铁矿金矿石、细脉-浸染状黄铁矿金矿石、脉状-网脉状黄铁矿金矿石、碎裂-角



1. 安山岩;2. 英安岩;3. 火山角砾岩;4. 碎裂岩;5. 构造角砾岩;6. 见矿(矿化)钻孔;7. 断层及编号;8. 矿体及编号

图 2 槐树坪金矿主要矿体剖面图

Fig. 2 The geological profile of main ore body in Huashuping gold deposit

砾状金矿石。矿床蚀变类型主要有硅化、钾长石化、绢云母化、碳酸盐化、高岭石化、绿帘石化和绿泥石化。金属矿化为黄铁矿化、方铅矿化。其中硅化、钾化、黄铁矿化与金矿化关系最为密切(谢小峰等, 2013)。

笔者根据野外观察、矿脉穿插关系以及对矿石的岩矿鉴定和分析, 将成矿分为3个阶段: I. 乳白色石英脉-团块状黄铁矿阶段, 早期张性-张扭性断裂活动, 形成角砾-裂隙充填型矿化, 黄铁矿晶型较好, 粒径约为2~5 mm, 含矿性差(图3a); II. 烟灰色石英脉-多金属硫化物阶段, 形成细脉充填型矿化, 常见方铅矿化及黄铜矿化, 黄铁矿晶型较差, 粒径为1~2 mm, 含矿性好, 为金矿化的主要成矿阶段(图3b); III. 石英-碳酸盐脉阶段(图3c), 胶结I、II期石英晶体残块。

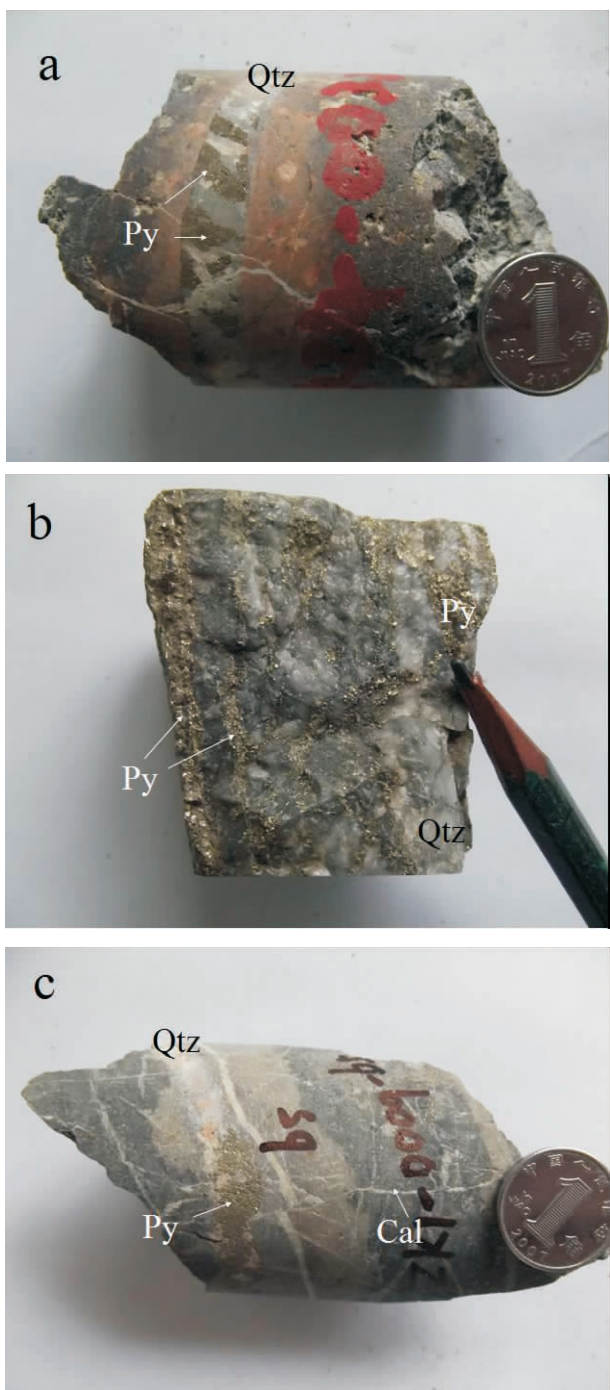
3 流体包裹体特征

3.1 样品采集及研究方法

本次研究以I、II、III阶段矿石石英内流体包裹

体为主要研究对象, 样品均采自分布在200~600 m的高程范围内的见矿钻孔中, 主要包括K₁₉矿体、K₂₃矿体、K₂₄矿体、K₂₅矿体。该区流体包裹体冰点温度的测试在中国科学院地球化学研究所(贵阳), 使用仪器为英国产Linkam TH600冷热两用台(-196~+600°C), 测定前应用国际标样(人造纯H₂O及w(NaCl_{eq})=25%的H₂O-NaCl包裹体)进行系统矫正。本次测试的有效测温样品为28件, 利用冷冻法对每个流体测温片中容易观察的原生气液包裹体进行冰点温度的测试, 测温过程中升温速率为0.2~5°C/min, 相转变温度附近升温速率为0.2~0.5°C/min, 有效测试个数约400个。包裹体成分激光拉曼测试选取代表3个成矿阶段的石英流体包裹体样品共4件。测试单位为中国科学院地球化学研究所(贵阳)完成, 仪器为Renishaw RW-1000型激光拉曼光谱仪, 激光束为514.5 nm Ar原子激光束, 输出功率为20 mW×100%, 波速范围为50~4 000 cm⁻¹。

根据含CO₂包裹体(C型)所测得的笼合物融化温度, 利用Collins方法求得含CO₂包裹体盐度。水



a. I 成矿阶段乳白色石英脉及团块状黄铁矿(Py); b. II 成矿阶段烟灰色-多金属硫化物石英脉;c. III 成矿阶段石英-碳酸盐脉;

Py. 黄铁矿; Qtz. 石英; Cal. 方解石

图3 槐树坪金矿3个成矿阶段石英脉型矿石特征图

Fig. 3 Characteristics of three stage ore-forming in the Huaishuping gold deposit

参数根据显微测温数据利用 Flicor 数据处理程序计算获得。

3.2 流体包裹体岩相学特征

流体包裹体按其捕获时间与主晶矿物形成时间的关系可分为原生和次生流体包裹体。原生包裹体是矿物形成时包裹周围的流体而形成的,而次生包裹体的形成晚于主晶矿物,一般与后期主晶矿物的改造事件有关(孙贺等,2009)。原生包裹体中所含流体是形成主矿物的成岩成矿流体。在矿床地质演化中流体活动大多是多期次的,可能只有某期次是与成矿有关的(即成矿流体)(范建国等,2000)。

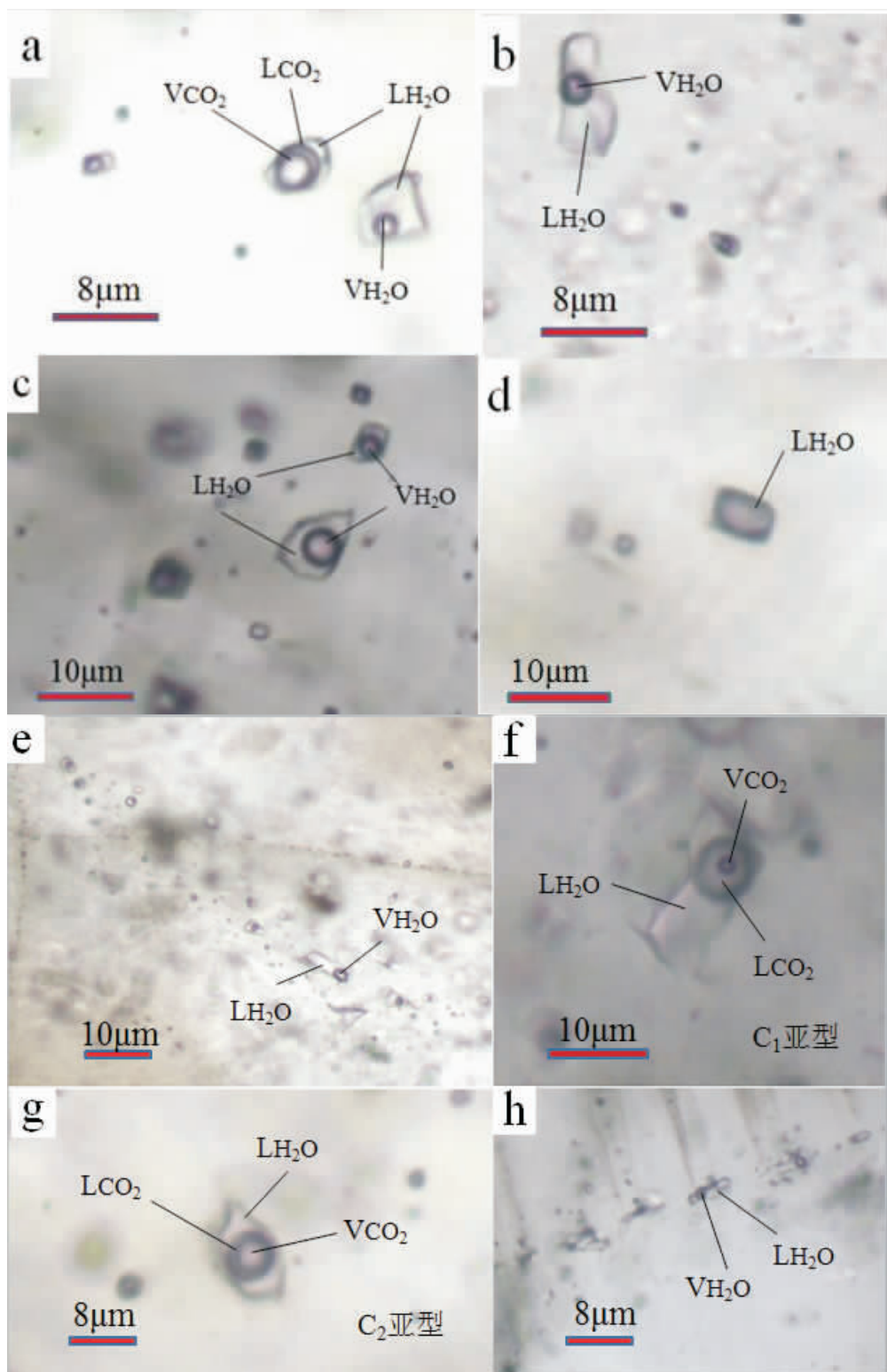
根据室温及冷冻回温过程中的相态变化,槐树坪金矿不同成矿阶段石英中流体包裹体有4种类型(图4):气液两相包裹体($V_{H_2O} + L_{H_2O}$)、纯 CO_2 包裹体、含 CO_2 包裹体主要包括 C_1 亚型、 C_2 亚型。 C_1 亚型常温下呈三相($L_{H_2O} + L_{CO_2} + V_{CO_2}$)(图4f), C_2 亚型常温下呈两相($L_{H_2O} + L_{CO_2}$)(图4g),冷冻时液相 CO_2 中出现气相 CO_2 。包裹体整体呈群状分布,也有呈线状、串珠状(图4e、图4h)和孤立状分布。显微镜下石英中原生包裹体的形态不规则,呈椭圆状、似椭圆状、多边形状、似圆状、长柱状、新月状、扁豆状、肾状、纺锤体状等。包裹体个体大小不一,最小不足1 μm,最大可达到20 μm以上,多数介于2~12 μm之间。气液比主要集中在10%~35%,有少数包裹体气液比超过45%。

(1)气液两相包裹体(W型),室温下呈 H_2O 气相和 H_2O 液相,各成矿阶段均有出现,气液比11%~21%,个体大小不一,变化较大4~13 μm。形态呈不规则形、椭圆形、长条形。在成矿早阶段石英中形态多为长条状呈线性分布,属次生包裹体,多为成矿晚阶段的产物。成矿晚阶段石英中较为常见。

(2)含 CO_2 包裹体(C型),主要包括 C_1 亚型、 C_2 亚型。 C_1 亚型常温下呈三相($L_{H_2O} + L_{CO_2} + V_{CO_2}$)(图4f), C_2 亚型常温下呈两相($L_{H_2O} + L_{CO_2}$)(图4g),冷冻时液相 CO_2 中出现气相 CO_2 。包裹体中气相 CO_2 占 CO_2 相体积百分数为9%~21%。C型包裹体主要发育于早成矿阶段和主成矿阶段石英中。在早成矿阶段石英中形态不规则,大小6~11 μm。在主成矿阶段主要为原生包裹体,个体较大,成群或孤立分布。

(3)纯 CO_2 包裹体(PC型),主要分布在主成矿阶段石英中,常温下呈单一相(L_{CO_2}),冷冻至-12℃左右会出现气相 CO_2 ,气相 CO_2 所占比例较小10%~

溶液包裹体盐度根据 Bodnar 公式利用水溶液包裹体所测冰点温度计算得出。成矿流体密度、压力等



a. 早成矿阶段流体包裹体;b. 主成矿阶段流体包裹体;c. 成矿晚阶段流体包裹体;d. 纯液相流体包裹体;e.h. 线状、串珠状包裹体;f. C_1 亚型包裹体;g. C_2 亚型包裹体

图4 槐树坪金矿床流体包裹体显微照片

Fig. 4 Microphotographs of fluid inclusions of the Huaishuping gold deposit

16%,包裹体大小4~8 μm,孤立分布,为原生包裹体。

(4)含子矿物包裹体,该类包裹体一般个体较大8~16 μm,形态多为椭圆形或近圆形,子矿物有暗色不透明自矿物和无色透明子矿物,孤立状分布,常见于早成矿阶段石英包体中,与W型包裹体和C型包裹体共生。

3.3 流体包裹体显微测温结果

3.3.1 均一温度

I成矿阶段:根据实验结果对测温结果做出统

计见表1。从表1中可以看出,I成矿阶段石英中W型包裹体均一温度为189~439°C,平均336.36°C,峰值范围301~383°C(图5)。C型包裹体在完全冷冻回温,固态CO₂的融化温度(T_{m,CO_2})区间为-58~-45°C,峰值范围为-56.1~-58.1°C,低于PC型初融温度-56.6°C。笼合物融化温度($T_{m,cla}$)为4.2~6.3°C,包体内气相CO₂和液相CO₂部分均一温度(T_{h,CO_2})为24~37°C。C型包裹体完全均一至液相温度($T_{h,tot}$)为351~446°C。

表1 槐树坪金矿流体包裹体显微测温结果表

Tab. 1 Microthermometric results of fluid inclusions of the Huashuping gold deposit

成矿阶段	包裹体类型	$T_{h,tot}$	T_{m,CO_2}	$T_{m,cla}$	T_{h,CO_2}	$T_{m,ice}$	密度(g/cm ³)均值	成矿压力(MPa)均值
I	C型	351~446	-58~-45	4.2~6.3	24~37	—	0.663~0.891	122~220
	W型	301~383	—	—	—	-1.1~-10.3	0.765	193
II	C型	243~349	-57.9~-52.7	3.2~10	15.6~36	—	0.837~0.950	35~126
	W型	227~299	—	—	—	-5.4~-11.9	0.881	95
III	W型	145~265	—	—	—	-11~-1.7	0.847~0.974	27~76
						—	0.929	65

注:I、II成矿阶段W型包裹体 $T_{h,tot}$ 采用峰值范围。测试单位为中国科学院地球化学研究所(贵阳),测试人许栋。

II成矿阶段:II阶段石英中W型包裹体均一温度为145~351°C,平均260.10°C,峰值范围227.69~299.54°C(图5)。其中C型包裹体初融温度(T_{m,CO_2})为-57.9~-52.7°C,CO₂笼合物融化温度($T_{m,cla}$)为3.2~10°C,包体内气相CO₂和液相CO₂部分均一温度(T_{h,CO_2})为15.6~36°C。C型包裹体完全均一至液相温度($T_{h,tot}$)为243~349°C。根据C型包裹体求得水溶液相的盐度为2.03%~11.71%,平均为7.64%,盐度范围区间较大。

III成矿阶段:III成矿阶段石英中包裹体主要为W型,均一温度为145~267°C,平均210.16°C,峰值范围194.39~226.17°C(图5)。

成矿流体温度从成矿早阶段至成矿晚阶段呈平稳下降趋势(图5)。

3.3.2 冰点温度和盐度

第I阶段石英中流体包裹体冰点温度范围为-1.11~-10.38°C,平均为-4.73°C;第II阶段石英流体包裹体冰点温度范围为-5.64~-11.99°C,平均为-7.87°C;第III阶段石英流体包裹体冰点温度范围为-4.30~-9.85°C,平均为-7.08°C。第II阶段、第III阶段的流体包裹体冰点温度与第I阶

段的流体包裹体相比冰点温度较低。

不同的流体方程是与不同的流体体系相对应,根据BOZZO等(1937)盐度计算公式: $w=15.520\ 02-1.023\ 42t_{m,cla}-0.052\ 86t_{m,cla}^2$ 计算第I、II阶段石英包裹体盐度,得出第I阶段石英包裹体盐度范围为6.98%~10.29%,平均为9.05%;第II阶段C型石英包裹体盐度范围为2.03%~11.71%,平均为7.64%;第III阶段石英包裹体盐度计算利用Hall等(1988)的盐度计算公式: $w=0.00+1.78t_m+0.044\ 2t_m^2+0.000\ 557t_m^3$,得到气液两相包裹体盐度为2.89%~15.04%,平均为9.36%。全区盐度平均值8.69%,总体呈低盐度状态(图5)。

3.4 流体密度和压力估算

根据C型包裹体的盐度及均一温度,利用Flinco流体包裹体计算程序计算出各成矿阶段的流体密度及压力(表1),从表1可以看出,该区成矿流体密度范围为0.663~0.974 g/cm³,第I成矿阶段流体密度范围为0.663~0.891 g/cm³,均值为0.765 g/cm³;第II成矿阶段流体密度范围为0.837~0.950 g/cm³,均值为0.881 g/cm³,第III成矿阶段流体密度范围为0.847~0.974 g/cm³,均值为0.929 g/cm³。该区

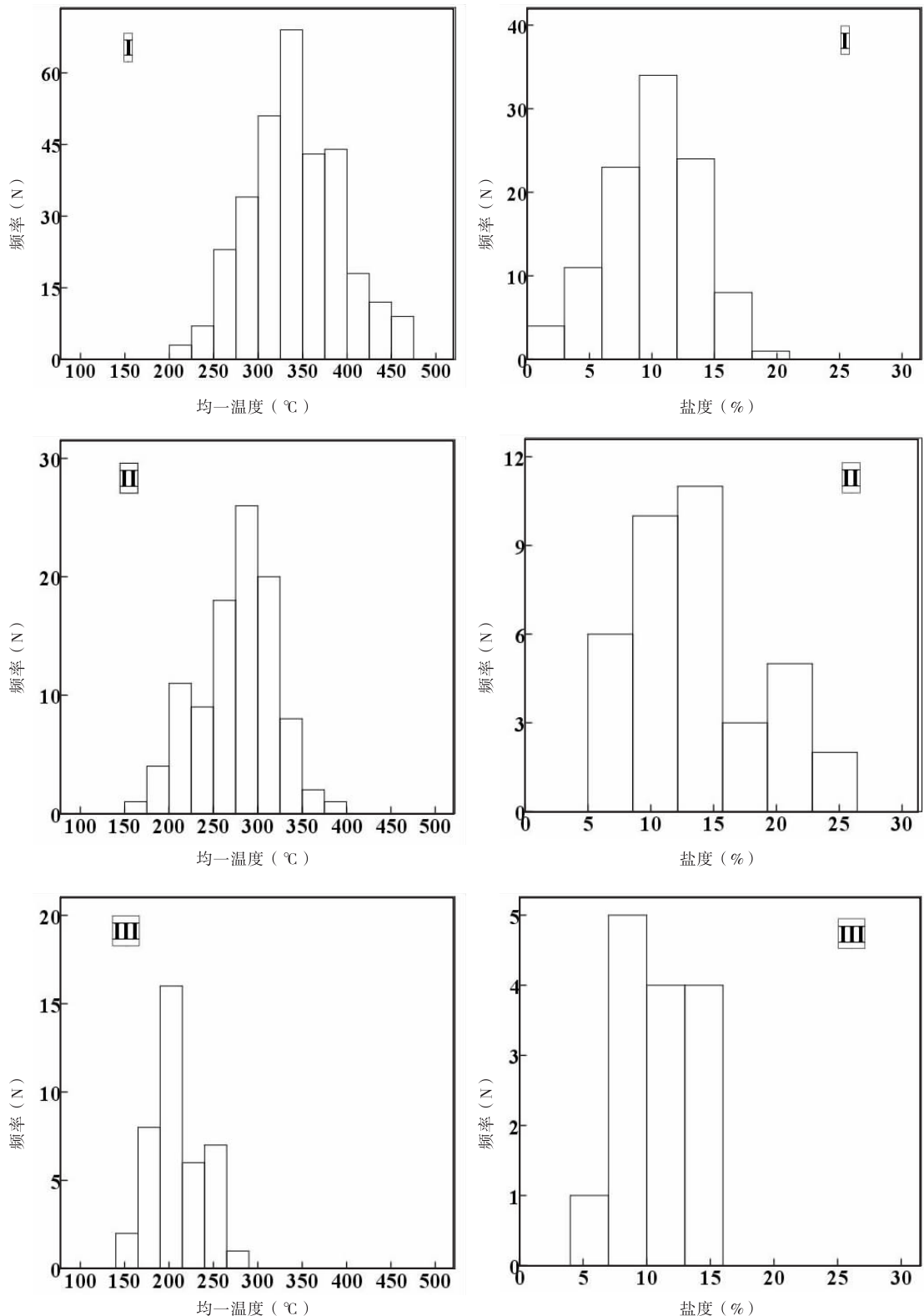


图 5 槐树坪金矿各阶段流体包裹体均一温度和盐度直方图

Fig. 5 Histogram of homogenization temperatures and salinities of fluid inclusions in different stage quartz from Huaishuping gold deposit

成矿流体总体属低密度流体,从早阶段到晚阶段,流体密度有升高的趋势,变化范围相对较小。成矿压力范围为27~220 MPa,第Ⅰ阶段流体压力范围为122~220 MPa,第Ⅱ成矿阶段为35~126 MPa,第Ⅲ阶段为27~76 MPa,从早阶段到晚阶段,成矿压力有减小的趋势。成矿深度的计算根据孙丰月等(2000)依据Sibson(1994)的断裂流体垂直分带规律拟合出的脉状热液金矿流体成矿深度与压力计算公式。得出成矿深度为2.70~11.78 km,主成矿阶段深度为3.50~9.35 km,平均成矿深度8.03 km。成矿深度越大,矿化的垂向连续延伸越大(赵财胜等,2005),槐树坪金矿床深部具有较大找矿潜力。

3.5 流体包裹体成分特征

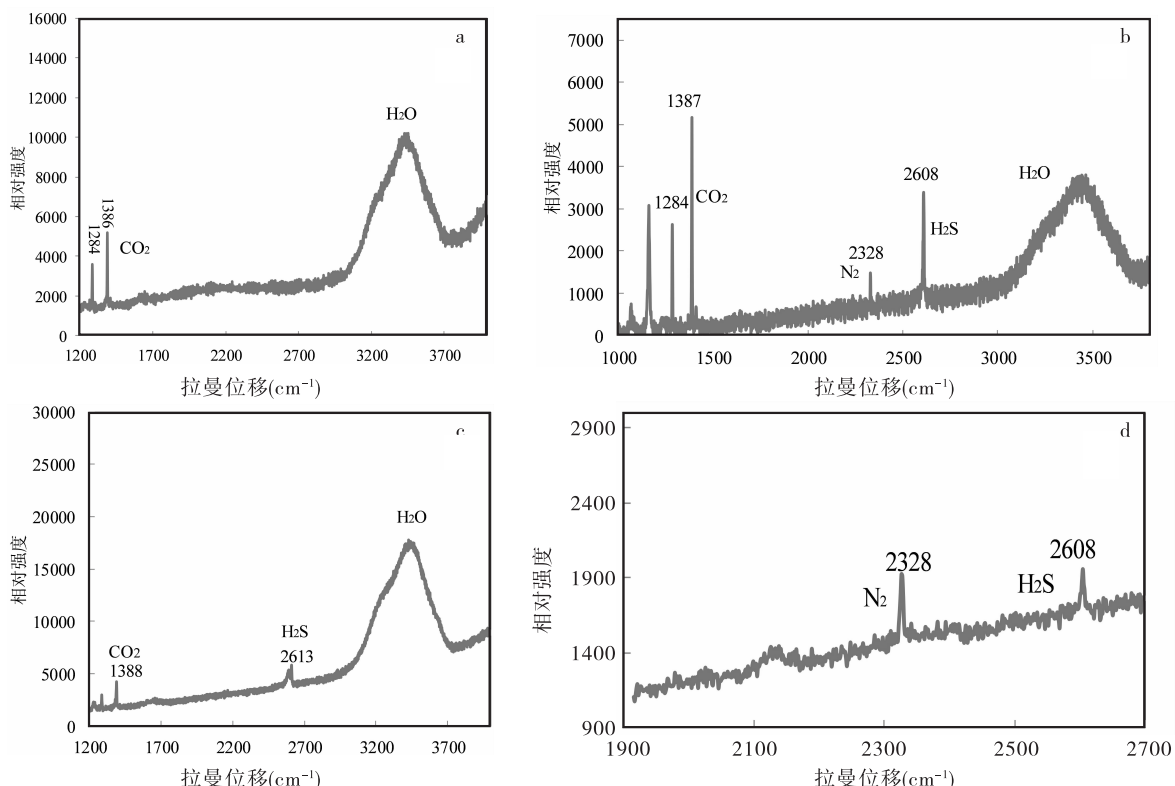
流体包裹体激光拉曼光谱测试表明(图6),Ⅰ成矿阶段石英脉中的C型流体包裹体气相成分主要为CO₂(特征拉曼光谱峰值具有双峰1386~1388 cm⁻¹和1284 cm⁻¹),液相成分为H₂O(特征拉曼光谱峰值3645~3750 cm⁻¹)(图6a)。Ⅱ成矿阶段石英脉中C型流体包裹体液相成分主要为H₂O

(特征拉曼光谱峰值3645~3750 cm⁻¹),气相成分主要为CO₂(特征拉曼光谱峰值具有双峰1386~1388 cm⁻¹和1284 cm⁻¹)、N₂(特征拉曼光谱峰值2328~2330 cm⁻¹)、H₂S(特征拉曼光谱峰值2608~2613 cm⁻¹)(图6b、图6c、图6d),表明主成矿阶段的包裹体成分成分中除了CO₂和H₂O外,含有一定的H₂S和N₂。

4 讨论与结论

4.1 成矿流体性质及演化特征

槐树坪金矿原生流体包裹体较为发育,反映了成矿流体的基本特征,槐树坪金矿在Ⅰ、Ⅱ成矿阶段石英中捕获CO₂-H₂O包裹体,Ⅱ成矿阶段捕获CO₂-H₂O-H₂S-N₂包裹体,成矿初始流体属于H₂O-NaCl-CO₂体系,在第Ⅲ阶段CO₂不发育,包裹体主要为气液两相,流体类型属于H₂O-NaCl体系。第Ⅱ阶段流体包裹体均一温度介于189~439℃,峰值301~383℃,盐度为6.98%~10.29%,密度为



a. Ⅰ阶段C型包裹体气相成分;b、c、d. Ⅱ阶段石英中C型包裹体气相成分

图6 流体包裹体气相成分激光拉曼位移图谱

Fig. 6 Laser Raman spectra of fluid inclusion

0.663~0.891 g/cm³; 第Ⅱ阶段流体包裹体均一温度为145~351℃, 峰值227.69~299.54℃, 盐度为2.03%~11.71%, 密度为0.837~0.950 g/cm³; 第Ⅲ阶段石英包裹体均一温度为145~267℃, 峰值194.39~226.17℃, 盐度为2.89%~15.04%, 密度为0.847~0.974 g/cm³。成矿流体从成矿早期至成矿晚期温度逐渐降低, Ⅱ成矿阶段流体代表温度为227.69~299.54℃, CO₂含量及流体密度略有升高, 从均一温度-盐度图(图7)可以看出早成矿期流体温度与盐度比较集中, 说明流体性质较为稳定。主成矿期盐度及温度跨度大, 且主成矿期盐度相对早成矿期与成矿晚期较高, 4种类型包裹体共存, 同时在Ⅰ、Ⅱ成矿阶段石英只能测温过程中观察到包裹体的沸腾, 指示成矿流体性质发生波动, 在成矿过程中发生过沸腾作用(李晶等, 2007)。推测流体沸腾作用产生了不同密度的含CO₂流体, 有利于金的沉淀。总体说明随着成矿过程的进行, 成矿流体是由中温、中低盐度的H₂O-NaCl-CO₂体系向低温、低盐度的H₂O-NaCl体系演化。

金的沉淀富集与成矿流体温度、络合物、流体成分、PH、Eh等物理化学环境密切相关(张兴康等, 2014), 从还原参数来看(表2), 经历了由小变大再变小的过程, 在第Ⅱ阶段, 还原参数是最大的, 因此还原性也最强。从早阶段到晚阶段, 氧逸度(lgf_{O₂})由大变小, 氢逸度(lgf_{H₂})由小变大, 但总体反映成矿环境为弱还原环境。研究表明, 在还原环境下, 成矿流体中金主要呈硫氢络合物形式迁移(刘英俊等, 1991), 高温下(>400℃)金-氯络合物对金迁移有利, 中温下以Au(HS)形式搬运, 低温下(<250℃)金以Au(HS)₂⁻形式搬运; 溶液呈酸性时, 金主要以Au₂(HS)₂S²⁻形式迁移(张兴康等, 2014)。根据槐树坪金矿的流体据有弱酸性、弱还原性, 且在包裹体拉曼光谱分析中有H₂S和N₂存在, 推断成矿流体中金主要以Au(HS)形式迁移, 其次为Au₂(HS)₂S²⁻。

4.2 矿床成因及流体来源分析

王炯辉等(2016)研究表明, 槐树坪金矿石英的δ¹⁸O_{V-SMOW}值为10.1‰~14.4‰, 成矿流体δ¹⁸O_{H₂O}值为-1.3‰~7.3‰, δD值为-95‰~-81‰, 与熊耳山地区其他金矿的氢、氧同位素值相近, 揭示该区金矿的成矿流体具有共同的来源和演化历史, δ¹⁸O_{H₂O}值位于花岗岩和大气降水范围内, 显示出岩浆水和大气降水混合的特点, 槐树坪金矿床的成矿流体主

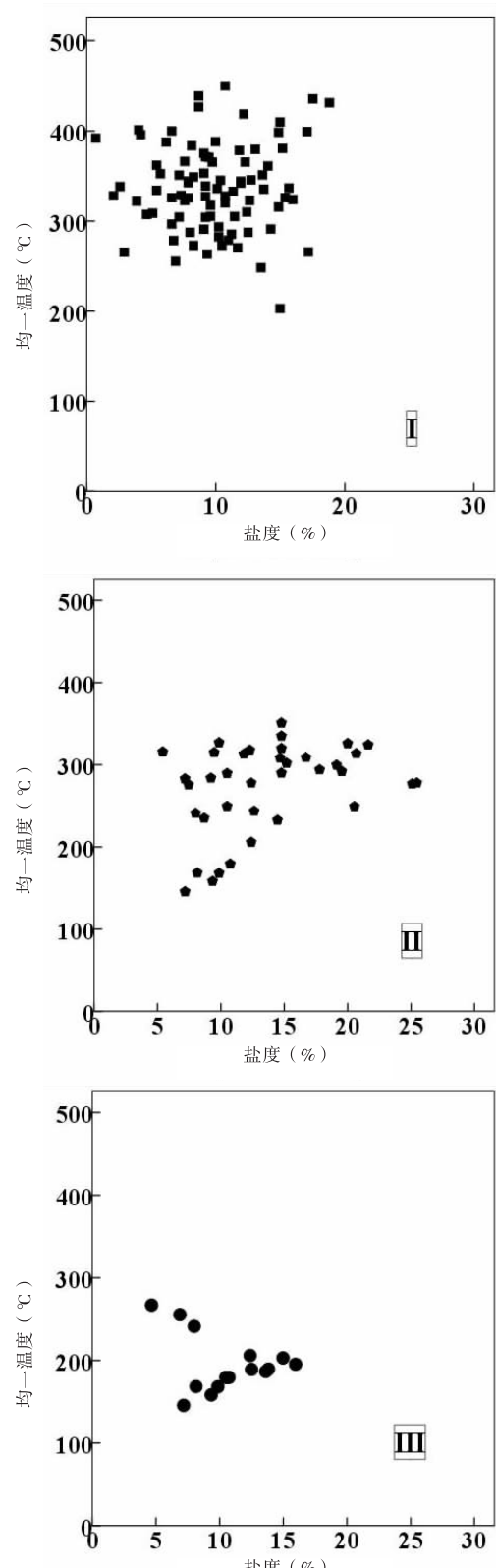


图7 槐树坪金矿流体包裹体均一温度-盐度图

Fig. 7 Salinity versus homogenization temperature of fluid inclusions from the Huashuping gold deposit

表2 不同成矿阶段流体包裹体物化参数^①

Tab. 2 Different mineralization stages of physical and chemical parameters of fluid inclusions results

成矿阶段	样品号	pH	$\lg(f_{\text{O}_2})$	$\lg(f_{\text{H}_2})$	还原参数
成矿早阶段	HSP-LT-15	5.96	-11.4	2.0	0.0077
主成矿阶段	LT-9	5.85	-13.0	2.8	0.0093
成矿晚阶段	LT-10	5.77	-15.0	3.8	0.0086

注:据孙华山(2012)研究报告整理。

要由岩浆水和大气降水组成,成矿主阶段以岩浆水为主,晚期有较多大气降水的加入(王炯辉等,2016)。

槐树坪金矿成矿流体温度由高温向低温呈梯度递减,温度降低明显,说明后期混入了大气降水。根据孙华山^①流体包裹体成分研究发现早成矿阶段→主成矿阶段→晚成矿阶段流体中, $w(\text{CO}_2)/w(\text{H}_2\text{O})$ 值变化为 $0.22 \rightarrow 0.37 \rightarrow 0.15$;当 $w(\text{CO}_2)/w(\text{H}_2\text{O})$ 小于0.5可作为判别岩浆热液型矿床的依据(陈衍景,2007),因此可判定该矿区成矿流体来源于岩浆热液。 $w(\text{Na}^+)/w(\text{K}^+)$ 值变化为 $2.63 \rightarrow 1.4 \rightarrow 1.81$; $w(\text{Cl}^-)/w(\text{SO}_4^{2-})$ 值变化 $0.24 \rightarrow 1.61 \rightarrow 0.7$; $w(\text{F}^-)/w(\text{Cl}^-)$ 值各阶段均较小,介于0.09~0.35。反映成矿早阶段到晚阶段 Na^+ 和 CO_2 由多变少, SO_4^{2-} 在成矿初期相对富集的特征,较高的 $w(\text{Na}^+)/w(\text{K}^+)$ 和 $w(\text{CO}_2)/w(\text{H}_2\text{O})$ 值,表明该区金矿成矿流体具有深源特征。

该区属熊耳山地区,印支期秦岭造山带中华北板块与扬子板块的对接,并在秦岭主造山阶段结束时完成了强大的俯冲碰撞挤压作用,从而中国南北两大块体成为一个稳定的克拉通陆块。印支期构造造成古老地幔柱重新活动和岩石圈的拆沉作用,造成地幔热液上涌,含矿热液向浅部运动,并产生大量的深源含矿岩浆岩;到燕山期,地壳处于上升拉张环境,构造作用使得花岗质岩浆沿马超营深大断裂和洛宁山前断裂上升侵位,形成大范围的中-酸性花岗岩,带来新的成矿物质。受构造运动影响,华北板块重新活化,从而导致该区发生了大规模的岩浆侵入和火山喷发,热液流体携带金及多金属元素在火山机构及其附近得到富集;同时,岩浆活动的巨大热能及区域性的多期多阶段的断裂构造活动不断驱使金从丰度值高的太华群和熊耳群中活化转移,再加上大气降水沿构造裂隙下渗,与初始成矿热液发生混合,

造成成矿热液物理化学条件的骤变,并在构造破碎带等开放空间交代断层岩(角砾岩),在有利部位金富集成矿,最后定位形成构造蚀变岩型+石英脉金矿床。

5 结论

(1) 槐树坪金矿是赋存于熊耳群缓倾斜层间挤压破碎带内的中浅成中温热液蚀变石英脉+蚀变岩型金矿床。其热液成矿过程可划分为I. 乳白色石英脉-团块状黄铁矿阶段,II. 烟灰色石英脉-多金属硫化物阶段,III. 石英-碳酸盐脉阶段。其中第II阶段为金的主要矿化阶段。

(2) 槐树坪矿区主要发育 $\text{CO}_2-\text{H}_2\text{O}$ 型、纯 CO_2 型和 $\text{NaCl}-\text{H}_2\text{O}$ 溶液型包裹体。笔者根据拉曼光谱成分分析显示流体包裹体的气相成分以 CO_2 、 H_2O 为主,含少量 N_2 、 H_2S ;I、II成矿阶段成分特征属 $\text{H}_2\text{O}-\text{NaCl}-\text{CO}_2$ 体系,III成矿阶段属 $\text{H}_2\text{O}-\text{NaCl}$ 体系,成矿流体由富 CO_2 向贫 CO_2 演化,主成矿阶段流体温度峰值范围为 $228 \sim 300^\circ\text{C}$,成矿流体总体具有中温、富 CO_2 、低盐度、低密度特点。

(3) 槐树坪金矿流体环境呈现出弱还原性、弱酸性特征,成矿流体中金主要以 $\text{Au}(\text{HS})$ 形式迁移,其次为 $\text{Au}_2(\text{HS})_2\text{S}^{2-}$ 。

参考文献(References):

- 陈衍景. 中国区域成矿研究的若干问题及其与陆-陆碰撞的关系[J]. 地学前缘, 2002, 9(4): 319-328.
- CHEN Yanjing. Several Important Problems in Study of Regional Metallogenesis in China: Their Relationship to Continental Collision [J]. Earth Science Frontiers, 2002, 9(4): 319-328.
- 陈衍景,陈华勇,ZAW K.,等. 中国陆区大规模成矿的地球动力学:以夕卡岩型金矿为例[J]. 地学前缘, 2004, 11(1): 57-83.
- CHEN Yanjing, CHEN Huayong, K.ZAW, et al. The Geodynamic Setting of Large-scale Metallogenesis in Mainland China, Exemplified by Skarn Type Gold Deposits [J]. Earth Science Frontiers, 2004, 11(1): 57-83.
- 陈衍景,倪培,范宏瑞,等. 不同类型热液金矿系统的流体包裹体特征[J]. 岩石学报, 2007, 23(09): 2085-2108.

^① 孙华山, 黄霞, 樊克峰, 等. 河南省嵩县矿集区东湾-槐树坪-七亩地沟一带金矿成矿规律与成矿预测研究, 中国地质大学(武汉), 河南豫矿资源开发有限公司, 河南省地矿局第二地质队, 2012.

- CHEN Yanjing, NI Pei, FAN Hongrui, et al. Diagnostic Fluid Inclusions of Different Types Hydrothermal Gold Deposits [J]. *Acta Petrologica Sinica*, 2007, 23(09): 2085-2108.
- 陈衍景. 初论浅成作用和热液矿床成因分类[J]. 地学前缘, 2010, 17(2): 27-34.
- CHEN Yanjing. On Epizonogenesis and Genetic Classification of Hydrothermal Deposits [J]. *Earth Science Frontiers*, 2010, 17(2): 27-34.
- 丁士应,任富根,李双保,等. 豫西熊耳山地区金矿构造控矿系统及其找矿意义[J]. 前寒武纪研究进展, 1999, 22(02): 26-31.
- DING Shiyi, REN Fugen, LI Shuangbao, et al. Ore-controlled Structural Systems and Its Ore-prospecting Significances of Gold Deposits in Xionger Mountain Area, Western Henan Province [J]. *Progress in Precambrian Research*, 1999, 22(02): 26-31.
- 范建国,倪培,田京辉. 成矿流体的流体包裹体同位素示踪探讨[J]. 地质找矿论丛, 2000, 15(03): 275-281.
- FAN Jianguo, NI Pei, TIAN Jinghui. Fluid Inclusion Isotopes as Tracers of Ore Fluids [J]. *Contributions to Geology and Mineral Resources Research*, 2000, 15(03): 275-281.
- 郭爱锁,庞绪成,张同中,等. EH4 方法在隐爆角砾岩型盲矿预测中的应用—以河南嵩县下蒿坪金矿为例[J]. 地质找矿论丛, 2014, 29(1): 114-119.
- GUO Aisuo, PANG Xucheng, ZHANG Tongzhong, et al. The Application of EH4 Sounding to Forecast of the Bling-ore Related to Cryptoexplosive Breccia—Xiahaoping Gold Deposit in Songxian, Henan Province for Example [J]. *Contributions to Geology and Mineral Resources Research*, 2014, 29(1): 114-119.
- 郭保健,李永峰,王志光,等. 熊耳山 Au-Ag-Pb-Mo 矿集区成矿模式与找矿方向[J]. 地质与勘探, 2005, 41(05): 43-47.
- GUO Baojian, LI Yongfeng, WANG Zhiguang, et al. Type Metallogenetic Regularities, Mineralization Model and Prospecting Proposal in the Xiongershan District [J]. *Geology and Exploration*, 2005, 41(05): 43-47.
- 胡海珠,李毅. 豫西熊耳山地区燕山期岩浆作用对金银成矿的制约因素[J]. 矿产与地质, 2006, 20(Z1): 427-429.
- HU Haizhu, LI Yi. Magmatic activities and its constraints on gold-silver mineralization in Xiong'ershan area, western Henan province [J]. *Mineral Resources and Geology*, 2006, 20(Z1): 427-429.
- 李连涛,徐公权,王爱枝. 河南熊耳山地区金矿的控矿因素分析[J]. 矿产与地质, 2009, 23(02): 152-157.
- LI Liaoqiao, XU Gongquan, WANG Aizhi. Analysis On the ore-controlling factors of the Xiong'ershan gold deposit, Henan [J]. *Mineral Resources and Geology*, 2009, 23(02): 152-157.
- 李晶,陈衍景,李强之,等. 甘肃阳山金矿流体包裹体地球化学和矿床成因类型[J]. 岩石学报, 2007, 23(09): 2144-2154.
- LI Jing, CHEN Yanjing, LI Qiangzhi, et al. Fluid Inclusion Geochemistry and Genetic Type of the Yangshan Gold Deposit, Gansu China [J]. *Acta Petrologica Sinica*, 2007, 23(09): 2144-2154.
- 刘斌,沈崑. 流体包裹体的氧逸度计算公式及其应用[J]. 矿物学报, 1995, 15(03): 291-302.
- LIU Bin, SHEN Kun. Formulae for Calculating Oxygen Fugacities of Fluid Inclusions and Their Applications [J]. *Acta Mineralogica Sinica*, 1995, 15(03): 291-302.
- 刘红樱,胡受奚,周顺之. 豫西马超营断裂带的控岩控矿作用研究[J]. 矿床地质, 1998, 17(01): 71-82.
- LIU Hongying, HU Shouxi, ZHOU Shunzhi. A Study of Rock-controlling and Ore-controlling Role of the Macaoing Fault in Western Henan [J]. *Mineral Deposits*, 1998, 17(01): 71-82.
- 卢焕章. 流体不混溶性和流体包裹体[J]. 岩石学报, 2011, 27(05): 1253-1261.
- LU Huangzhang. Fluids immiscibility and fluid inclusions [J]. *Acta Petrologica Sinica*, 2011, 27(05): 1253-1261.
- 卢欣祥,尉向东,于在平,等. 小秦岭-熊耳山地区金矿的成矿流体特征[J]. 矿床地质, 2003, 22(4): 377-385.
- LU Xinxiang, WEI Xiangdong, YU Zaiping, et al. Characteristics of Ore-forming Fluids in Gold Deposits of Xiao-qinling-Xiong'ershan Area [J]. *Mineral Deposits*, 2003, 22(4): 377-385.
- 梅秀杰,耿怡智,庞绪成. 嵩县南部古火山机构控矿作用及找矿方向[J]. 河南理工大学学报(自然科学版), 2008, 27(04): 410-413.
- MEI Xiujie, GENG Yizhi, PANG Xucheng. The Role of Ancient Volcanic Crater of Ore-controlling Structure and Exploration Direction in South of Song County [J]. *Journal of Henan Polytechnic University (Natural Science)*, 2008, 27(04): 410-413.
- 梅桂友,李春芳. 中性水体 pH 值与温度关系的分段回归计算法[J]. 重庆环境科学, 1999, 21(2): 57-58.
- MEI Guiyou, LI Chunfang. Relationship between water neutral pH value and temperature of subsection regression method [J]. *Chongqing Environmental Science*, 1999,

- 21(2): 57-58.
- 梅秀杰,张参辉,杨显道,等.豫西次级拆离断层对金矿成矿的控制作用——以河南槐树坪金矿为例[J].黄金科学技术,2014,22(02): 7-12.
- MEI Xiujie, ZHANG Canhui, YANG Xiandao, et al. The Controlling of Secondary Detachment Fault for Gold Mineralization in Western Henan Province: Taking Huashuping Gold Mine as an Example [J]. Gold Science and Technology, 2014, 22(02): 7-12.
- 孟宪锋.嵩县南部金成矿条件分析及前景评价[D].中国地质大学(北京),2007.
- MENG Xianfeng. Ore-forming Geological Conditions Analysis and its Appraisement of Gold Deposits in Southern Songxian [D]. China University of Geosciences (Beijing), 2007.
- 倪培,范宏瑞,丁俊英.流体包裹体研究进展[J].矿物岩石地球化学通报,2014,24(10): 1-5.
- NI Pei, FAN Hongrui, DING Junying. Progress in Fluid Inclusions [J]. Bulletin of Mineralogy, Petrology and Geochemistry, 2014, 24(10): 1-5.
- 庞绪成,辛志刚,侯广顺,等.河南嵩县东湾金矿田地质特征及找矿远景[J].地质与勘探,2011,47(5): 765-771.
- PANG Xucheng, XIN Zhigang, HOU Guangshun, et al. Geological Characteristics of the Dongwan Gold Ore Field in Songxian County, Henan Province and its Ore-Search Prospect [J]. Geology and Exploration, 2011, 47(5): 765-771.
- 庞绪成,王路,侯广顺,等.河南下蒿坪金矿Pb同位素特征及Rb-Sr等时线年龄的地质意义[J].矿物岩石,2011,31(4): 82-86.
- PANG Xucheng, WANG Lu, HOU Guangshun, et al. Geological Significance of Pb Isotope Characteristics and Rb-Sr Dating of Xiaohaoping Gold Deposit, Henan [J]. Mineral Petrol, 2011, 31(4): 82-86.
- 邱庆伦,燕长海,陈瑞保,等.小秦岭—熊耳山地区燕山期大规模成矿的地球动力学背景[J].地质找矿论丛,2008,23(04): 281-286.
- QIU Qinglun, YAN Changhai, CHEN Ruibao, et al. The Geodynamic Settings of Yanshanian Large-scale Metallogenic Pulses in Xiaoqinling-Xiongershan Area [J]. Contributions to Geology and Mineral Resources Research, 2008, 23(04): 281-286.
- 孙贺,肖益林.流体包裹体研究:进展、地质应用及展望[J].地球科学进展,2009,24(10): 1105-1121.
- SUN He, XIAO Yilin. Fluid Inclusions: Latest Develop-
- ment, Geological Applications and Prospect [J]. Advances in Earth Science, 2009, 24(10): 1105-1121.
- 王炳辉,陈良,苏蔷薇,等.河南省嵩县槐树坪金矿床地质、同位素地球化学特征与成矿作用[J].矿床地质,2016,35(03): 524-538.
- WANG JiongHui, CHEN Liang, SU QiangWei, et al. Geology isotopic geochemistry and metallogenesis of Huashuping gold deposit in Songxian County, Henan Province [J]. Mineral Deposits, 2016, 35(3): 524-538.
- 吴发富,龚庆杰,石建喜,等.熊耳山矿集区金矿控矿地质要素分析[J].地质与勘探,2012,48(5): 865-875.
- WU Fafu, GONG Qingjie, SHI Jianxi, et al. Ore-controlling Factors of the Gold Deposits in the Xiongershan Gold Region, Western Henan Province [J]. Geology and Exploration, 2012, 48(5): 865-875.
- 徐红伟,杨九鼎,王国库.河南省嵩县槐树坪金矿成矿地质特征及成因分析[J].河南理工大学学报(自然科学版).2009, 28(6): 719-726.
- XU Hongwei, YANG Jiuding, WANG Guoku. Metallogenic Feature and Origin Analysis of Huashuping Gold Deposit of Song County in Henan [J]. Journal of Henan Polytechnic University (Natural Science), 2009, 28(6): 719-726.
- 燕建设.马超营断裂带流体系统地球化学特征[J].物探与化探.2005, 29(6): 487-492.
- YAN Jianshe. Fluid Geochemical Characteristics of Machaoying Faulted Belt [J]. Ceophysical & Geochemical Exploration, 2005, 29(6): 487-492.
- 杨东潮,庞绪成,宗静,等.豫西嵩县南部鸡蛋坪组岩石地球化学特征及其成因意义[J].河南理工大学学报:自然科学版,2012, 31(6): 679-686.
- YANG Dongchao, PANG Xucheng, ZONG Jing, et al. Geochemistry characteristics and cause of formation of Jidanping Fm rocks, southern Song county of southern Henan [J]. Journal of Henan Polytechnic University (Natural Science), 2012, 31(6): 679-686.
- 张德会,刘伟.流体包裹体成分与金矿床成矿流体来源—以河南西峡石板沟金矿床为例[J].地质科技情报,1998, 17(S1): 68-72.
- ZHANG Dehui, LIU Wei. Fluid Inclusion Compositions of Au Deposits and Their Ore Genesis Significance: The Discussion on the Origin of Ore Forming Fluid of Shibangou Gold Deposit, Xixia, Henan Province [J]. Geological Science and Technology Information, 1998, 17(S1): 68-72.